

図 37-1-1 等価線形計算による最大加速度（左列）、最大せん断ひずみ（中列）、最大せん断応力（右列）の分布の例（ケース 1）

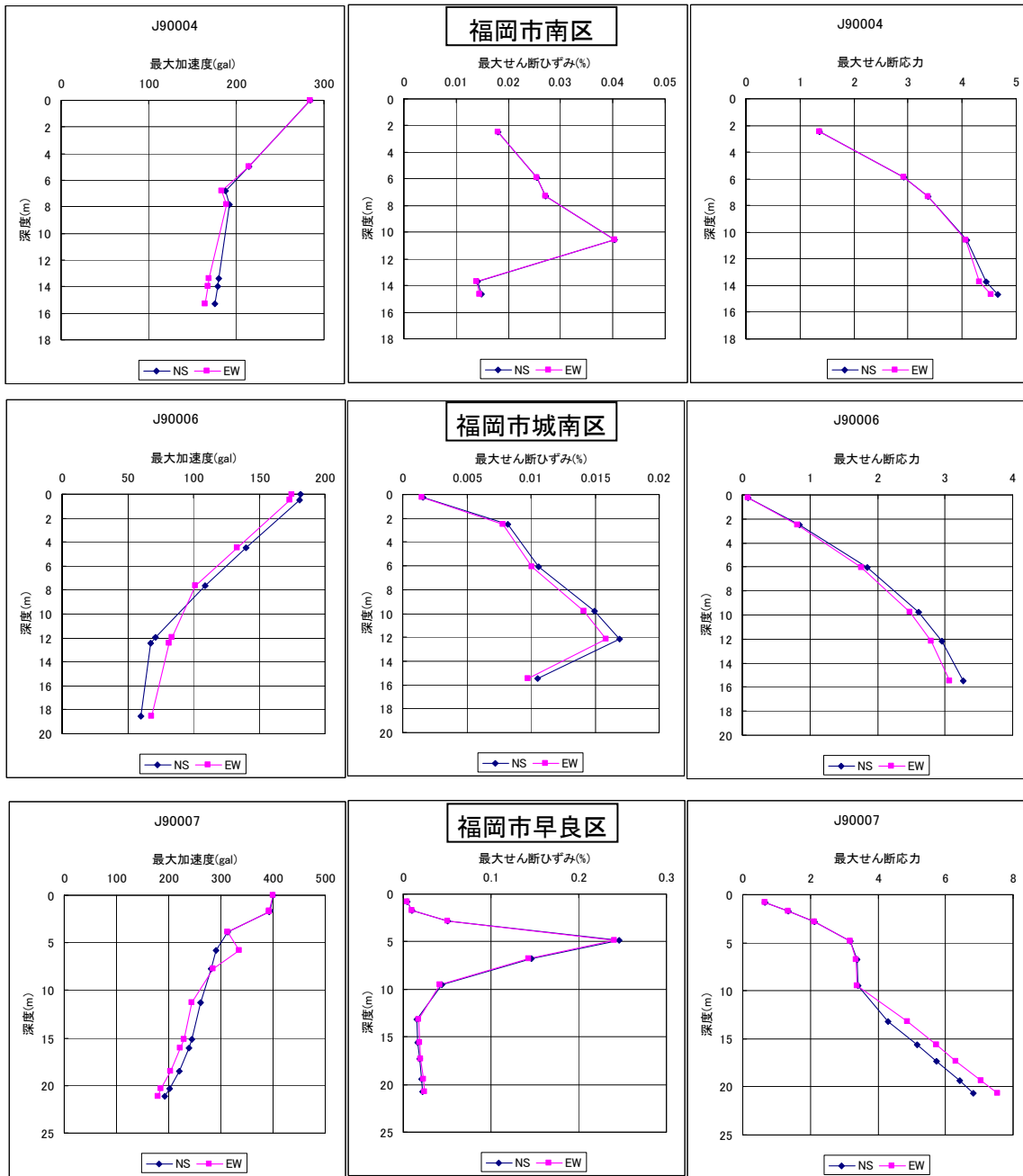


図 37-1-2 等価線形計算による最大加速度（左列）、最大せん断ひずみ（中列）、最大せん断応力（右列）の分布の例（ケース 1）

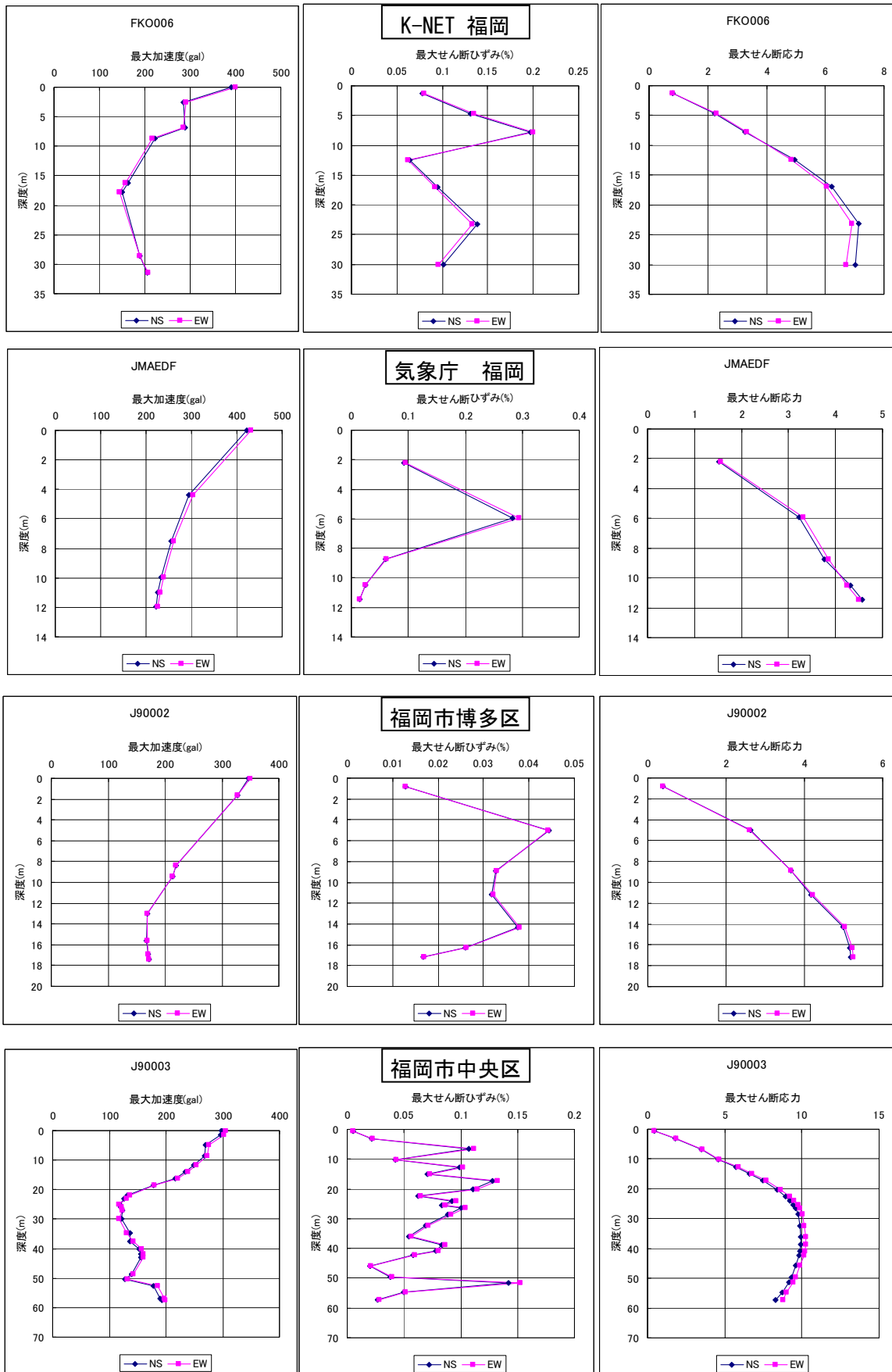


図 37-2-1 等価線形計算による最大加速度（左列）、最大せん断ひずみ（中列）、最大せん断応力（右列）の分布の例（ケース 2）

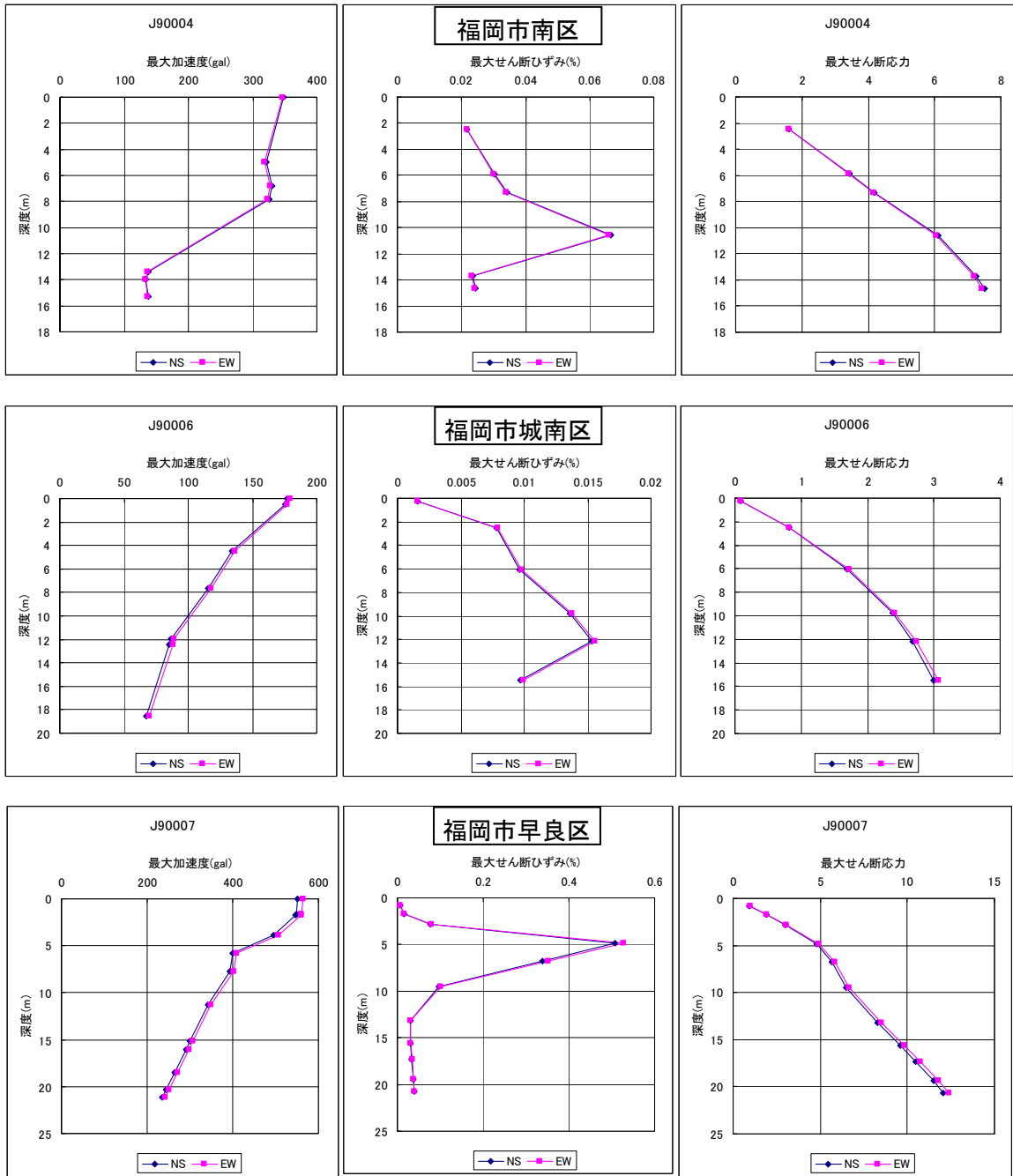


図 37-2-2 等価線形計算による最大加速度（左列）、最大せん断ひずみ（中列）、最大せん断応力（右列）の分布の例（ケース 2）

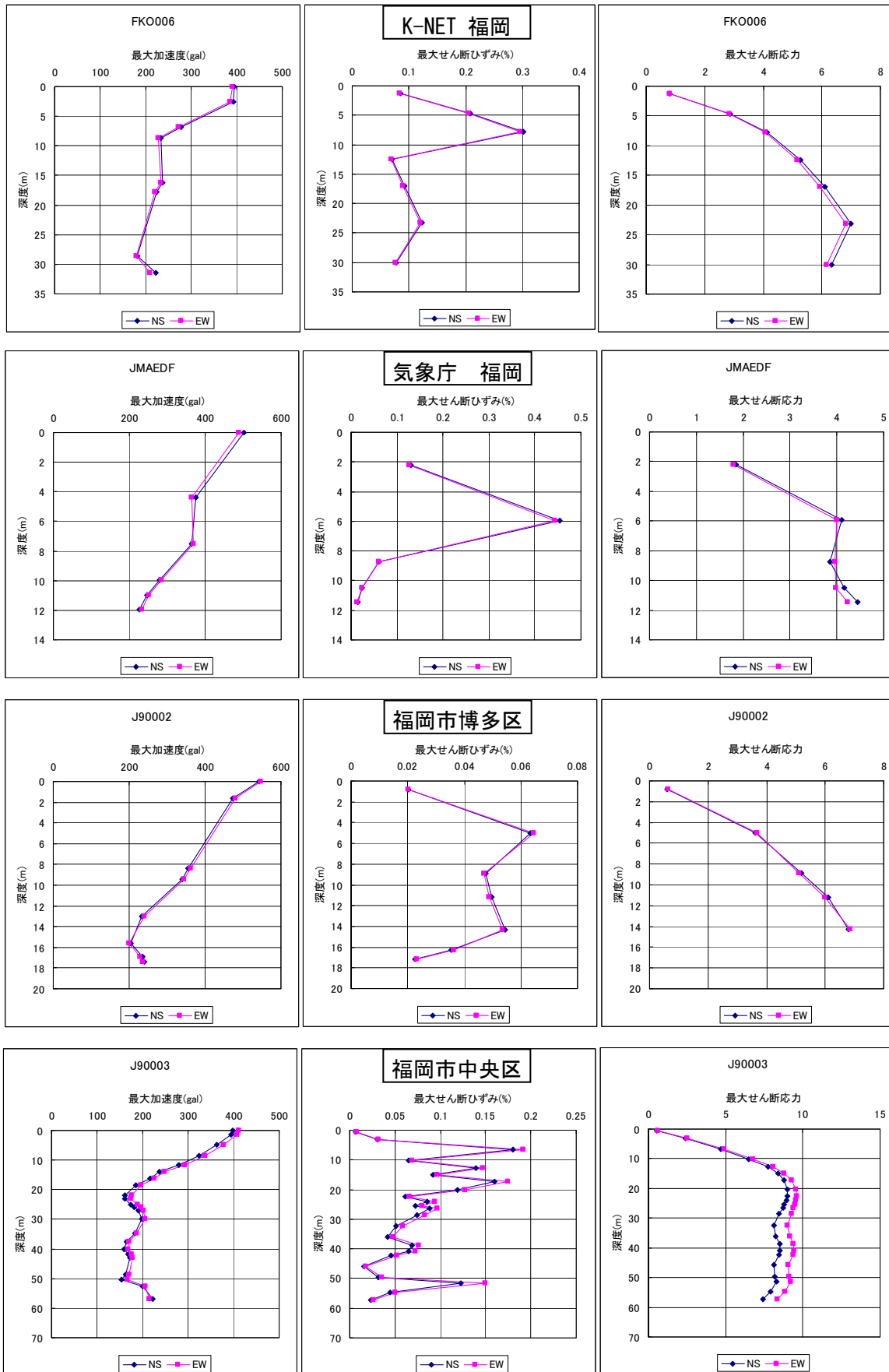


図 37-3-1 等価線形計算による最大加速度（左列）、最大せん断ひずみ（中列）、最大せん断応力（右列）の分布の例（ケース3）

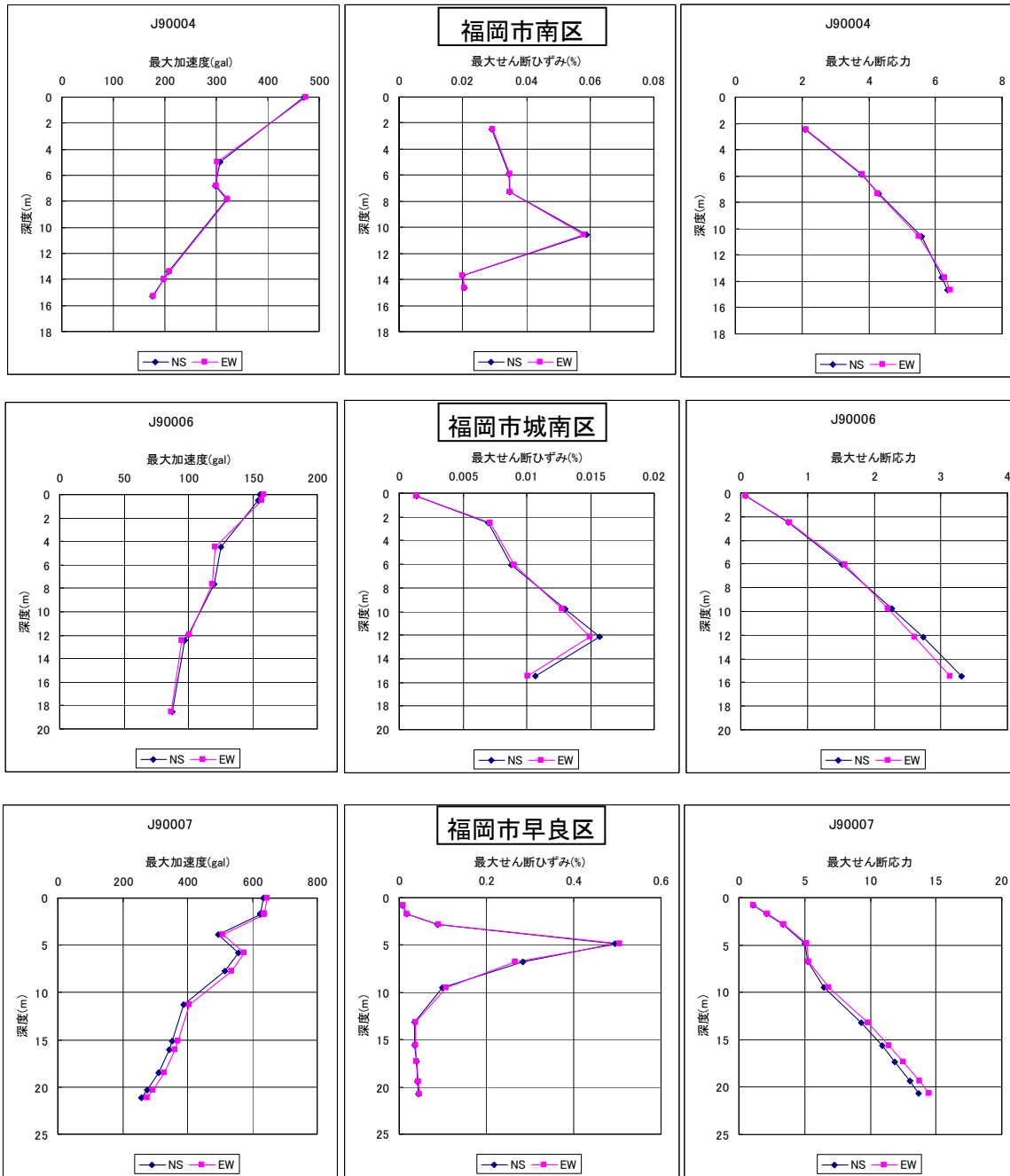


図 37-3-2 等価線形計算による最大加速度（左列）、最大せん断ひずみ（中列）、最大せん断応力（右列）の分布の例（ケース 3）

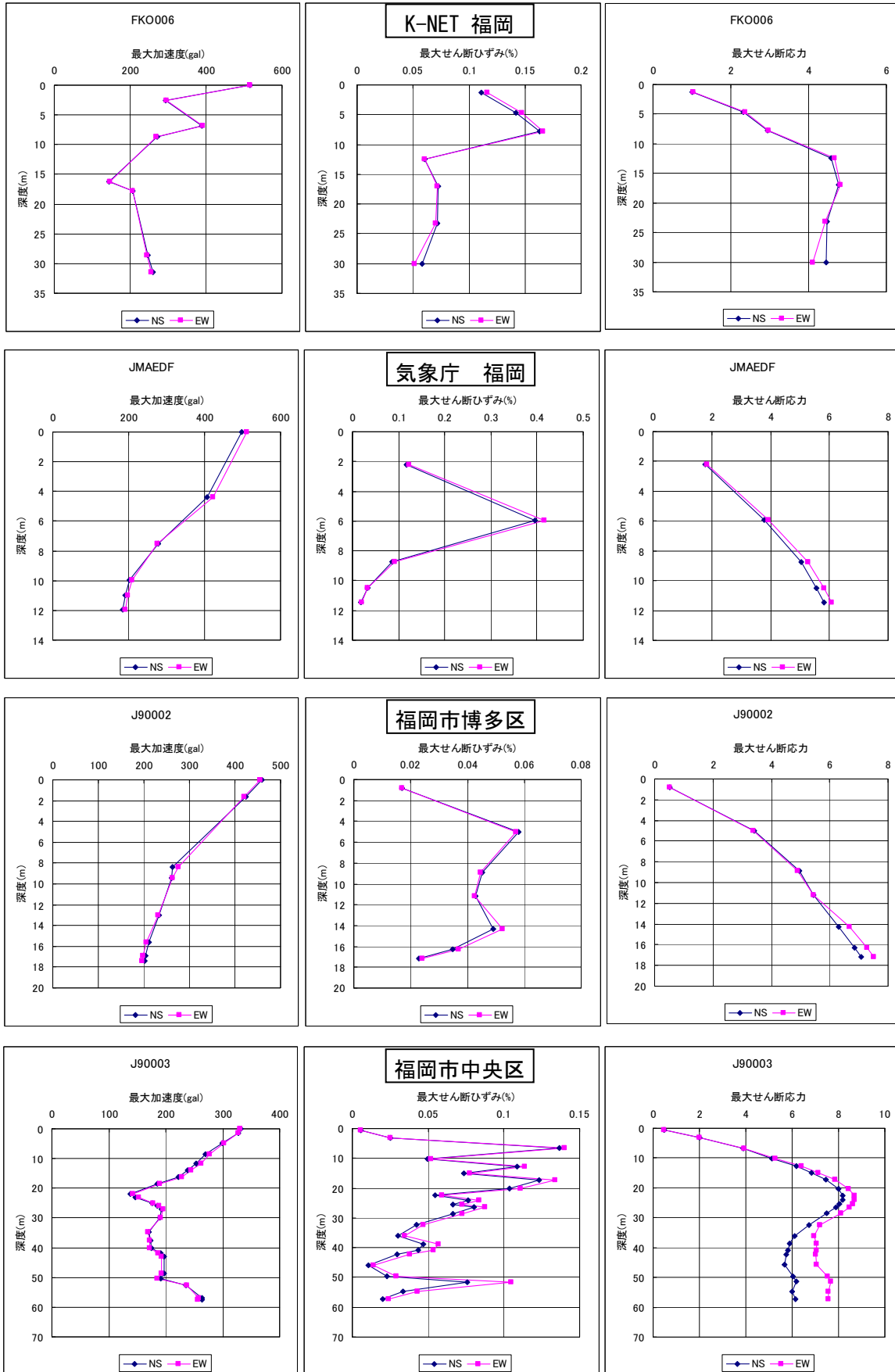


図 37-4-1 等価線形計算による最大加速度（左列）、最大せん断ひずみ（中列）、最大せん断応力（右列）の分布の例（ケース4）

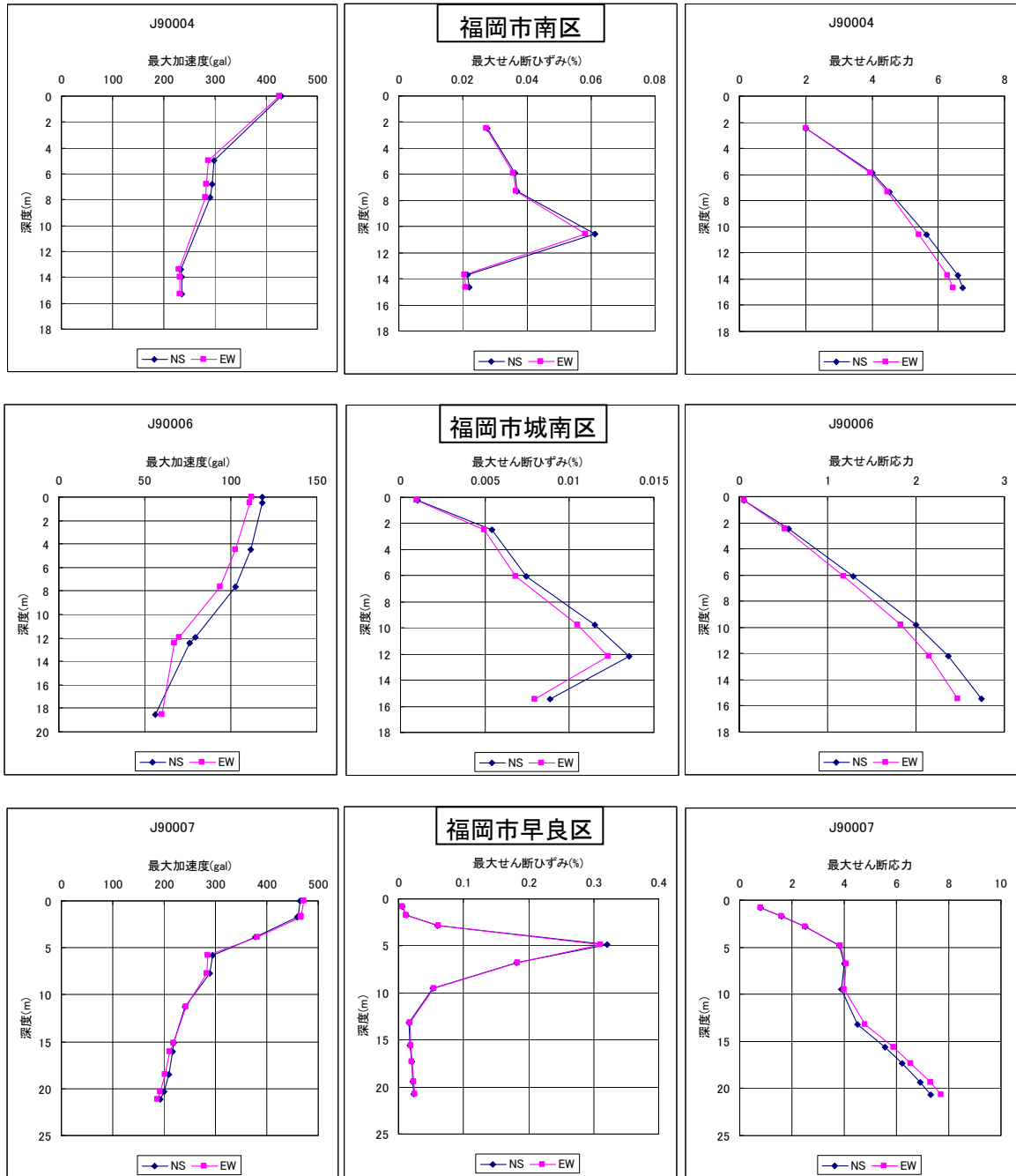


図 37-4-2 等価線形計算による最大加速度（左列）、最大せん断ひずみ（中列）、最大せん断応力（右列）の分布の例（ケース4）

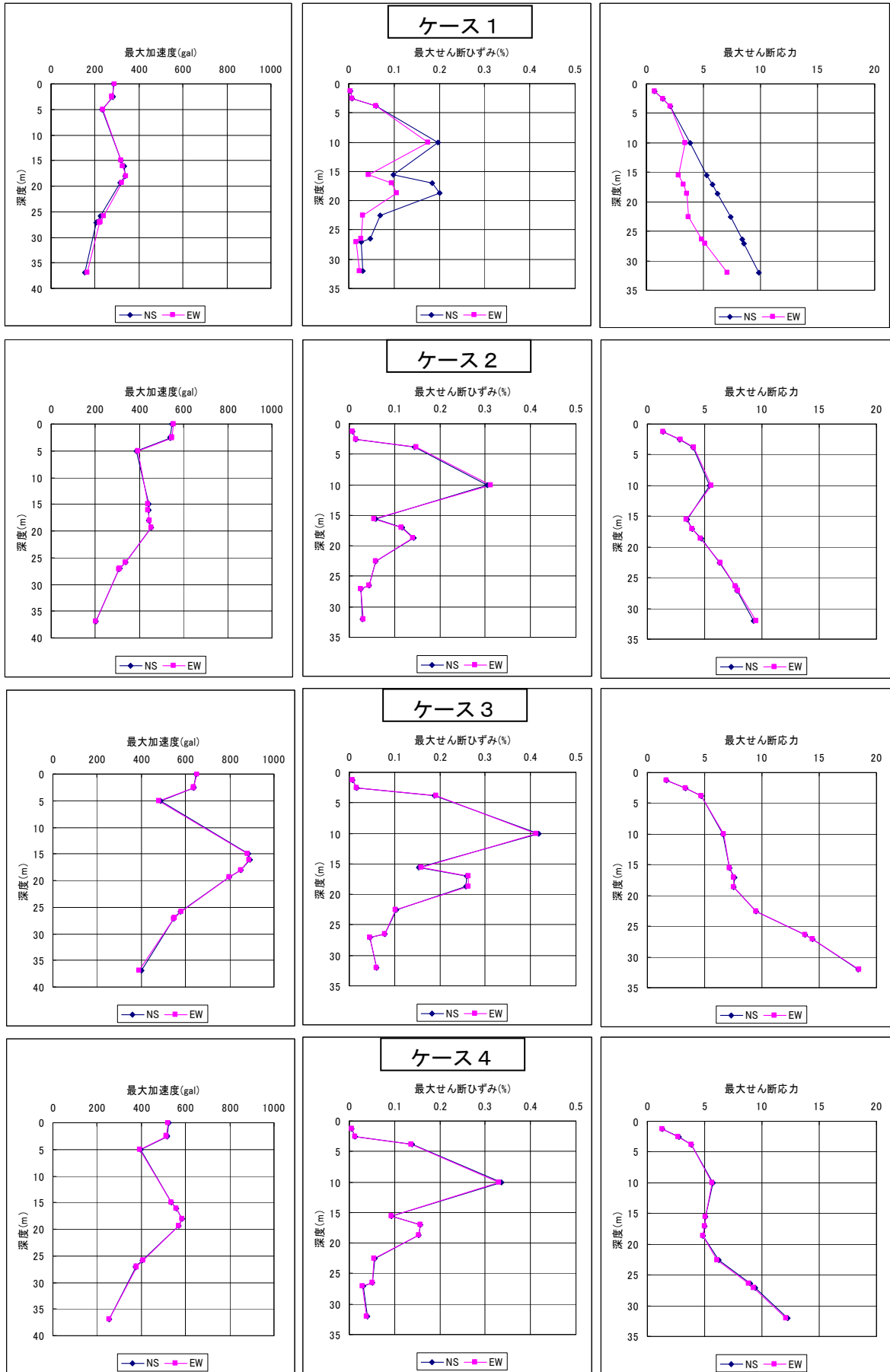


図 37-5 等価線形計算による最大加速度（左列）、最大せん断ひずみ（中列）、最大せん断応力（右列）の分布（海の中道）

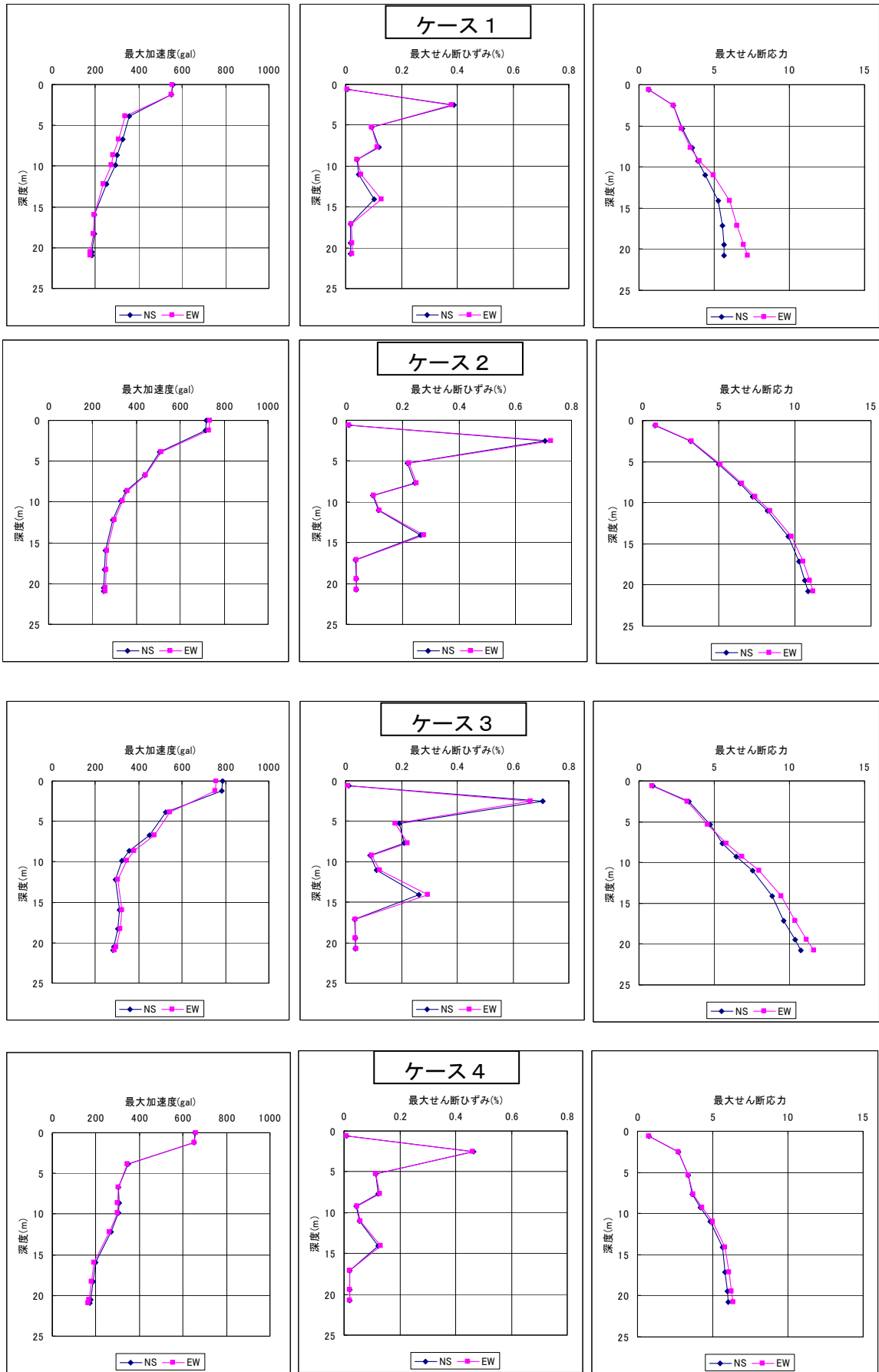


図 37-6 等価線形計算による最大加速度（左列）、最大せん断ひずみ（中列）、最大せん断応力（右列）の分布（百道浜）